

梅森公式： $P_k = \text{第 } k \text{ 条前向通道的增益} \Delta_k - (\text{所有不同回路的增益之和}) + (\text{每两个互不接触回路增益乘积之和}) - (\text{每三个互不接触回路增益乘积之和}) + \dots$ ； $\Delta_k = \text{信号流图中除去与第 } k \text{ 条前向通道 } P_k \text{ 相接触的支路和节点后余下的信号流图的特征式}$ 。

状态空间 $\begin{cases} \dot{x} = Ax + Bu \\ y = Cx + Du \end{cases}$ 传递函数 $C(SI - A)^{-1}B + D$, D 一般为 0。余子式求法位置转置，计算逆矩阵乘行列式。

暂态响应性能指标 (二阶) 上升时间 $T_r = \frac{\pi - \beta}{\omega_n \sqrt{1 - \xi^2}} = \frac{\pi - \arccos \xi}{\omega_n \sqrt{1 - \xi^2}}$ 峰值时间 $T_p = \frac{\pi}{\omega_n \sqrt{1 - \xi^2}}$ 最大偏差 $y(T_p)_1 + e^{\frac{-\pi \xi}{\sqrt{1 - \xi^2}}}$ 超调比 $\sigma = \frac{3.5}{\xi \omega_n}$ 调节时间 $T_s = \frac{3.5}{\xi \omega_n}$

$F(s) = \frac{Y(s)}{X(s)} = \frac{Y(s)}{(s - s_1)^3(s - s_2)} = \frac{A_{13}}{(s - s_1)^3} + \frac{A_{12}}{(s - s_1)^2} + \frac{A_{11}}{(s - s_1)} + \frac{A_2}{s - s_2}$

其中, $A_{13} = [(s - s_1)^3 \frac{Y(s)}{X(s)}]_{s=s_1}$ $A_{12} = \left\{ \frac{d}{ds} [(s - s_1)^3 \frac{Y(s)}{X(s)}] \right\}_{s=s_1}$ $A_{11} = \left\{ \frac{1}{2} \frac{d^2}{ds^2} [(s - s_1)^3 \frac{Y(s)}{X(s)}] \right\}_{s=s_1}$

主导极点: 高阶系统中距离虚轴最近的极点, 其实部比其他极点的实部的 1/5 还要小, 并且该极点附近没有零点。

劳斯判据: 系统的极点均在 s 平面的左半部分=方程的各项系数全部为正值, 并且劳斯表的第一列都具有正号。

*一项为 0: 乘 (s+1) *某行所有各项系数均为零: 将上一行组成辅助方程, 用求导得到的各项系数来代替为零的各项。

稳定裕度: 令 $z = s - \sigma$, 判断根位于 $s = -\sigma$ 的左边。

频带宽度 $\omega_b = \omega_0 \sqrt{1 - 2\zeta^2 + \sqrt{2 - 4\zeta^2 + 4\zeta^4}}$

• 为了求出 $s^3 \sim s^0$ 各项, 将 s^4 行的各项组成辅助方程:

$A(s) = s^4 + 6s^2 + 8$

• 将辅助方程 $A(s)$ 对 s 求导数, 得 $\frac{dA(s)}{ds} = 4s^3 + 12s$

• 用 s^4 中的各项系数作为 s^3 行的各项系数, 得劳斯表为:

| | | | | |
|-------|-----|----|----|----|
| s^6 | 1 | 8 | 20 | 16 |
| s^5 | 2 | 12 | 16 | 0 |
| s^4 | 1 | 6 | 8 | |
| s^3 | 4 | 12 | | |
| s^2 | 3 | 8 | | |
| s^1 | 4/3 | | | |
| s^0 | 8 | | | |

• 从左表的第一列可以看出, 各项符号没有改变, 因此可以确定在右半平面没有极点。另外, 由于 s^3 行的各项皆为 0, 这表示有共轭虚数极点。这些极点可由辅助方程求出。

• 辅助方程是: $s^4 + 6s^2 + 8 = 0$

求得大小相等符号相反的虚数极点为: $s_{1,2} = \pm j\sqrt{2}$ $s_{3,4} = \pm j2$

静态误差 e_{ss} : $e(t) = r(t) - z(t)$, L.T. 为 $E(S) = R(S) - Z(S)$ 。系统稳定情况下, 终值定理可求 e_{ss} 。

根轨迹相角条件和幅值条件: $|G(s)H(s)| = 1$, 同时 $\angle G(s)H(s) = \pm(2k+1)\pi$ 。

| | | | | | |
|---|-------------|--|---|----------------|--|
| 1 | 根轨迹的连续性和对称性 | 根轨迹是连续的, 且对称于实轴 | 6 | 根轨迹的分离点 (或会合点) | 根轨迹的分离点 (或会合点) 必须满足方程式 $\frac{dK}{ds} = 0$ |
| 2 | 根轨迹的起点和终点 | 根轨迹的 n 条分支从 n 个开环极点出发, 其中 m 条最终趋向 m 个开环零点, 另外 $n - m$ 条趋向无穷远处 | 7 | 根轨迹的出射角和入射角 | 出射角 $\varphi_p = \mp 180^\circ(2k+1) + \sum_{i=1}^n \lambda_i - \sum_{j=1}^m \theta_j$ 入射角 $\varphi_z = \pm 180^\circ(2k+1) + \sum_{j=1}^m \theta_j - \sum_{i=1}^n \lambda_i$ |
| 3 | 实轴上的根轨迹 | 在实轴上的线段上存在根轨迹的条件是, 其右边开环零、极点数目之和为奇数 | 8 | 根轨迹与虚轴的交点 | 1) 劳斯判据求临界稳定时的特征根 2) 用 $s = j\omega$ 代入特征方程式, 求 ω |
| 4 | 根轨迹渐近线的相角 | $n - m$ 条渐近线的相角为 $\alpha = \frac{\pm 180^\circ(2k+1)}{n - m}$ | | | |
| 5 | 根轨迹渐近线的交点 | $n - m$ 条渐近线交点的坐标为 $-\sigma_a = \frac{\sum_{i=1}^n (-p_i) - \sum_{j=1}^m (-z_j)}{n - m}$ | | | |

广义根轨迹 (参数和正反馈)

1) 特征方程: $G(s)H(s) = \frac{2}{s(Ts+1)(s+1)}$

$\Delta(s) = s(Ts+1)(s+1) + 2 = Ts^3 + (T+1)s^2 + s + 2 = 0$

等效根轨迹增益 $Ts^3 + (T+1)s^2 + s + 2 = 0$

规则 3: 当 $s \rightarrow \infty$ 时, 根轨迹的渐近线与实轴的夹角 $\gamma = \frac{2k\pi}{n-m}$

规则 4: 实轴上的根轨迹

规则 6: 复数极点 (或零点): 出射角 (入射角)

出射角 $\phi_p = 0^\circ + \sum_{j=1}^m \angle(p_k - z_j) - \sum_{i=1, i \neq k}^n \angle(p_k - p_i)$

入射角 $\psi_z = 0^\circ + \sum_{i=1}^n \angle(z_k - p_i) - \sum_{j=k}^m \angle(z_k - z_j)$

波特图 $\Delta'(s) = 1 + [G(s)H(s)]_e = 0$

0 型: 低频段的渐近线斜率为 0dB/dec, 高度为 20lgKp。

1 型: 低频延长线与 0dB 线交点 K1, 在 $\omega=1$ 处的读数为 20lgK1。

2 型: 低频部分斜率 -40dB/dec 的斜线, 与 0dB 线交点 $\sqrt{K2}$, 在 $\omega=1$ 处的读数为 20lgK2。

奈奎斯特稳定判据: 圈数 $N = PR - ZR$, PR 已知, N 求法: 在 $-1+j0$ 点画一条射线, 沿着射出方向左到右穿过为负 (顺时针), 右到左穿过为正。加和即为 N 。 $ZR=0$ 时系统稳定。

稳定裕度 截止频率 ω_c 满足 $|G(j\omega_c)H(j\omega_c)| = 1$, 相位裕度 $\gamma = 180^\circ + \angle G(j\omega_c)H(j\omega_c)$ 一般 45° 到 60°

幅值裕度 穿越频率 ω_x $\angle G(j\omega_x)H(j\omega_x) = (2k+1)\pi$ 。幅值裕度 $h = 1/(|G(j\omega_x)H(j\omega_x)|)$

当 $0 \leq \xi \leq \frac{1}{\sqrt{2}}$ 时, 系统有谐振产生, 其谐振峰值分别为

$\omega_r = \omega_n \sqrt{1 - 2\xi^2}$ $M_r = \frac{1}{2\xi \sqrt{1 - \xi^2}}$

$\xi = \sqrt{\frac{1 - \sqrt{1 - 1/M_r^2}}{2}}$

设系统的微分方程为： $\ddot{y} + 28\dot{y} + 196y = 360\dot{u} + 440u$

传递函数：状态方程与输出方程；状态变量图。

(1) 传递函数： $G(s) = \frac{360s + 440}{s^3 + 28s^2 + 196s + 740}$

(2) $\dot{x} = Ax + bu = \begin{bmatrix} 0 & 1 & 0 \\ 0 & 0 & 1 \\ -740 & -196 & -28 \end{bmatrix} x + \begin{bmatrix} 0 \\ 0 \\ 1 \end{bmatrix} u$

(3) 状态变量图

注意传递函数最高项系数要化成1。非线性/线性（无常数项，微分方程，最高次为1）、时变/时不变（微分差分方程系数为常数）、动态/静态（无求导项）

$\bar{A} = T_1^{-1}AT_1 = \begin{pmatrix} 0 & 1 & 0 \\ 0 & 0 & 1 \\ -a_0 & -a_1 & \dots & -a_{n-1} \end{pmatrix}$

$\bar{B} = T_1^{-1}B = (0 \ 0 \ \dots \ 0 \ 1)^T$

$\bar{C} = CT_1 = (\beta_0 \ \beta_1 \ \dots \ \beta_{n-1})$

$L^{-1}[\frac{s + \alpha_0}{(s + \alpha)^2 + w^2}] = \frac{1}{w} \sqrt{w^2 + (\alpha_0 - \alpha)^2} \cdot e^{-\alpha t} \sin(wt + \varphi) \quad \varphi = \text{tg}^{-1}(\frac{w}{\alpha_0 - \alpha})$

$s^2 \begin{vmatrix} 52.5 & 200 + K \\ 7995 - 12K & 0 \end{vmatrix} \quad F \approx F_0 + \bar{F} \big|_{y=0.25} (y - 0.25)$

$s^1 \quad 200K$

$s^0 \quad 200K$

$K = 666.25$ 时系统振荡。

由 $52.5s^2 + (200 + 666.25)s = 0$ 得一对虚根为 $\pm j\sqrt{16.5}$ ，振荡频率为 $\sqrt{16.5}$ 。

$G(s) = \frac{K^*}{s(s+1)(s+3.5)(s+3+j2)(s+3-j2)}$ 的闭环根轨迹图

(3) 根轨迹渐近线有 $n-m=5$ 条，根轨迹渐近线与实轴的交点为： $\sigma_a = \frac{1}{5} \sum_{i=1}^5 p_i = -2.1$ 。

与实轴的交角为： $\varphi_a = \frac{(2k+1)\pi}{n-m} = \frac{(2k+1)\pi}{5} = \pm 36^\circ, \pm 108^\circ, 180^\circ$

(4) 根轨迹的分离点方程： $\frac{1}{d} + \frac{1}{d+1} + \frac{1}{d+3.5} + \frac{1}{d+3+j2} + \frac{1}{d+3-j2} = 0$ ，分离点为： $d \approx -0.4$ ，分离角为： $\frac{(2k+1)\pi}{l} = \pm \frac{\pi}{2}$

(5) 根轨迹的起始角： $\theta_{p_4} = 180^\circ - (-\sum_{j=1}^5 \angle(p_4 - p_j)) = 180^\circ - (146^\circ + 136^\circ + 76^\circ + 90^\circ) = -268^\circ$ ， $\theta_{p_5} = 268^\circ$

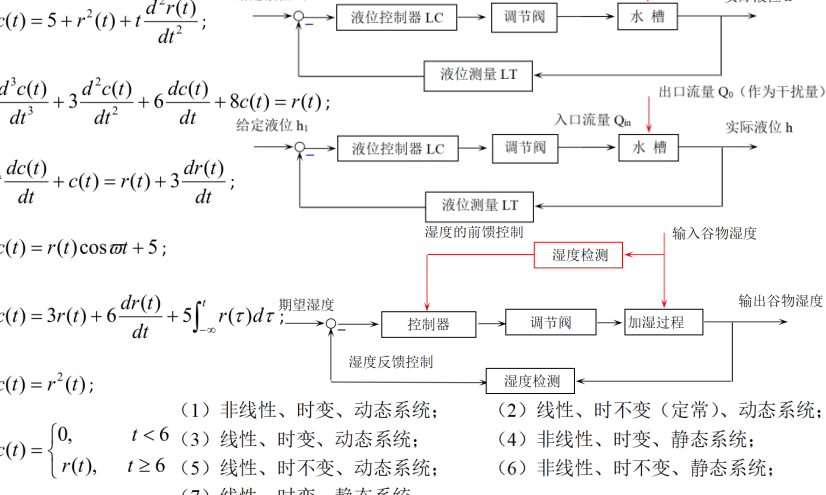
(6) 根轨迹与虚轴的交点：系统闭环特征方程为 $D(s) = s^5 + 10.5s^4 + 43.5s^3 + 79.5s^2 + 45.5s + K^* = 0$

将 $s = j\omega$ 代入，并使 $\text{Re}[D(j\omega)] = 0, \text{Im}[D(j\omega)] = 0$

要使系统稳定，闭环极点必须在左半平面。

要使系统不出现超调现象，必须满足根轨迹在实轴，没有复数极点。

稳态误差系数



$K = 666.25$ 时系统振荡。

由 $52.5s^2 + (200 + 666.25)s = 0$ 得一对虚根为 $\pm j\sqrt{16.5}$ ，振荡频率为 $\sqrt{16.5}$ 。

$G(s) = \frac{K^*}{s(s+1)(s+3.5)(s+3+j2)(s+3-j2)}$ 的闭环根轨迹图

